

9.1.4 Metodo di Poncelet

Metodo di Poncelet: casi particolari**Terrapieno con fronte verticale ($\delta = 0$) e superficie superiore orizzontale ($\epsilon = 0$)**

Tenendo presente che la teoria di Poncelet può essere ritenuta un'estensione della teoria di Coulomb, applicabile a terrapieni comunque delimitati, la spinta in questo caso può essere calcolata sia con la costruzione grafica di Poncelet considerando l'angolo φ_1 di attrito terra-muro, sia analiticamente con la formula di Coulomb in presenza o meno di sovraccarico.

Terrapieno con $\epsilon = \varphi$

In questo caso, l'angolo ϵ formato dalla superficie superiore del terrapieno con l'orizzontale è uguale all'angolo di attrito φ del terreno.

In tale situazione la superficie superiore del terreno e quella di natural declivio sono parallele, per cui il punto M cade all'infinito e quindi non è possibile effettuare la costruzione grafica di Poncelet; è facile però rilevare [fig. a] che la parallela alla retta di direzione AE tracciata per un qualunque punto della retta di natural declivio passante per B definisce in ogni caso un segmento sempre uguale e uguale al segmento AE sulla retta di direzione, la cui lunghezza rappresenta la dimensione di spinta y , mentre la perpendicolare per A alla retta di natural declivio individua in AH l'altra dimensione p . La spinta può quindi essere calcolata con la nota relazione:

$$S = \frac{1}{2} \cdot y \cdot p \cdot \gamma_t$$

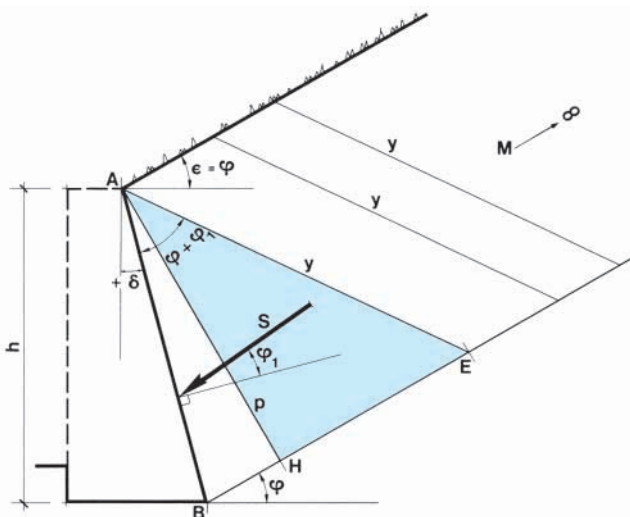


Fig. a

Terrapieno con $\epsilon \approx \varphi$

Quando gli angoli ϵ e φ hanno valori poco diversi fra loro, il punto M di intersezione fra la traccia AM della superficie superiore del terreno e quella del piano di natural declivio cade al finito ma molto lontano e quindi non è possibile tracciare la semicirconferenza con diametro BM [fig. b].

Si ricorre pertanto alla seguente costruzione grafica basata sul teorema di Talete:

1. tracciare la retta di direzione AE formante l'angolo $(\varphi + \varphi_1)$ con il fronte AB del terrapieno;
2. dal punto E tracciare la retta m parallela alla superficie libera del terreno sino a intersecare in D il fronte AB del terrapieno;
3. per il punto D tracciare la perpendicolare ad AB sino a intersecare in D_1 la semicirconferenza con diametro AB ;
4. con centro in B ribaltare il punto D_1 in F su AB ;
5. per il punto F tracciare la parallela n alla superficie superiore del terrapieno sino a intersecare in X_1 la retta di natural declivio;
6. dal punto X_1 tracciare la parallela alla retta di direzione AE che individua la dimensione di spinta y e quindi la perpendicolare a BX_1 che individua la dimensione p .

La spinta viene poi calcolata con la relazione di Poncelet.

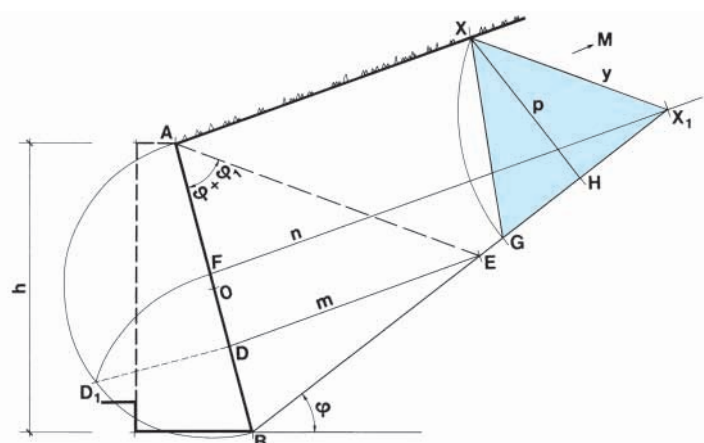


Fig. b

9.1.4 Metodo di Poncelet

ESEMPIO SVOLTO

Casi particolari

Calcolare la spinta esercitata da un terrapieno, alto 5,00 m, privo di sovraccarico, costituito di sabbia fine argillosa umida, che presenta un fronte verticale ed è delimitato superiormente da un piano orizzontale.

Confrontare i valori della spinta calcolati con le teorie di Coulomb e di Poncelet.

In base alle caratteristiche del terrapieno, si assumono i seguenti parametri:

- angolo di attrito terra-terra: $\varphi = 35^\circ$
- peso volumico: $\gamma_t = 16,00 \text{ kN/m}^3$

Teoria di Coulomb [fig. a]

La spinta ha il seguente valore:

$$\begin{aligned} S &= \frac{1}{2} \cdot \gamma_t \cdot h^2 \cdot \operatorname{tg}^2\left(45^\circ - \frac{\varphi}{2}\right) = \\ &= \frac{1}{2} \times 16,00 \times 5,00^2 \cdot \operatorname{tg}^2\left(45^\circ - \frac{35^\circ}{2}\right) \approx 54,20 \text{ kN/m} \end{aligned}$$

ed è applicata, dalla base del terrapieno, alla distanza:

$$d = \frac{1}{3} \cdot h = \frac{1}{3} \times 5,00 \approx 1,67 \text{ m}$$

con linea di azione orizzontale.

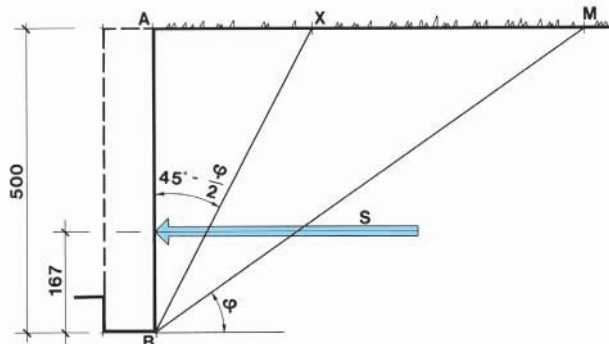


Fig. a

Teoria di Poncelet [fig. b]

Si ipotizza un angolo di attrito terra-muro:

$$\varphi_1 = 20^\circ$$

Riportato il profilo del terreno, si traccia la retta di direzione che forma con il fronte AB del terrapieno l'angolo $\varphi + \varphi_1 = 55^\circ$; si completa quindi la costruzione grafica, sulla quale si legge, nella scala del disegno, la dimensione di spinta $y = 2,53 \text{ m}$ e l'altezza $p = 2,38 \text{ m}$, per cui la spinta vale:

$$S = \frac{1}{2} \cdot y \cdot p \cdot \gamma_t = \frac{1}{2} \times 2,53 \times 2,38 \times 16,00 \approx 48,17 \text{ kN/m}$$

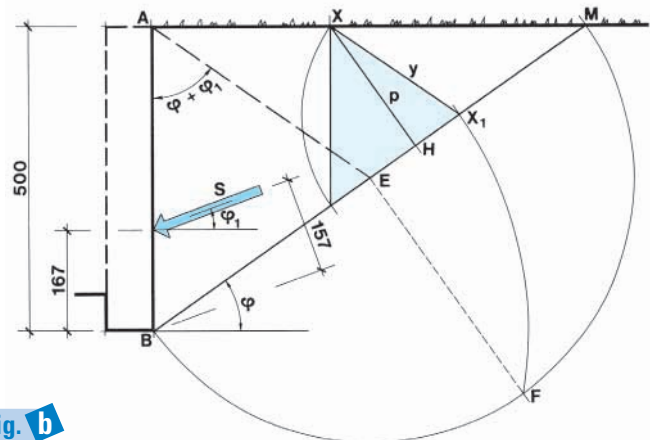


Fig. b

Come si può rilevare, i valori della spinta con le due teorie presentano una differenza di circa 6,00 kN; inoltre il momento della spinta rispetto al punto B , detto momento spingente, risulta minore con la teoria di Poncelet non solo perché la spinta è minore, ma anche perché il suo braccio è inferiore, e precisamente risulta $d = 1,57 \text{ m}$ contro un valore $d = 1,67 \text{ m}$ con la teoria di Coulomb.